

大阪大学工学部 正員 川谷充郎 倫ニチゾウテック 正員 小林義和
大阪大学大学院 学生員 ○高森和恵

1. まえがき 道路橋の強度設計において、自動車走行による動的影響は衝撃として扱われ、衝撃係数を用いて活荷重を割り増すことにより考慮されている。現行の道路橋示方書において、鋼橋の衝撃係数については、昭和14年に改訂されて以来、算定式 $i = 20/(50+L)$ (L : 支間長) が用いられている。著者らは、路面凹凸を考慮した非定常連成不規則振動解析結果に基づいて、 $L-20$ 荷重に対する衝撃係数について検討を行ってきた^{1), 2)}。ところで、平成5年11月、建設省は物流の高度化や国際化に対応するための措置の一環として、道路橋設計自動車荷重を20tfから25tfに改訂した。本研究では、文献3)と同様の手法を用いて、新しい $L-25$ 荷重に対する衝撃係数について検討する。

2. 解析手法³⁾ 本解析法は、路面凹凸を有する桁橋と走行荷重に関する連成振動の微分方程式から、状態ベクトル表示を用いた状態方程式を誘導し、線形微分方程式の理論より得られるこの解過程を用いて、直接、応答の共分散行列を求めるものである。これより得られる2乗平均値応答 σ は、路面平滑走行時の動的応答からの偏差に関するものである。衝撃係数を評価する際、路面平滑走行時の動的増分 $M_{i,d,max}$ （静的応答が最大となる時刻を含む動的応答の1サイクル区間ににおける路面平滑走行時の動的増分の絶対最大値）は比較的小さいが、連行荷重の場合には2乗平均値応答が小さくなるため、相対的にこの影響を無視できない⁴⁾。ここでは、すべての場合について、衝撃係数を曲げモーメントに関して次式で評価する。

$$i = [\sigma_M(t_{Ms}, 1/2) + M_{i,d,max}] / M_{s,max} \quad (1)$$

ここに、 t_{Ms} は静的曲げモーメントが最大となる時刻を表す。

3. 解析モデル (1)橋梁 橋梁モデルの構造諸元をTable 1に示す²⁾。

(2)走行車両 前輪1軸および後輪2軸を有する2自由度系モデルとする。車両モデルの構造諸元をTable 2に、その寸法をFig. 1に示す。連行荷重列は L 荷重に相当する荷重列として考えられているように、車頭間隔14mで配置した(Fig. 2)。(3)路面凹凸 路面凹凸パワースペ

Table 1 Structural properties of model bridges

Span length (m)	Type	Moment of inertia of area (m ⁴)	Weight per unit length (tf/m)	Natural frequency (Hz)
10	H-shape steel	0.0161	5.170	12.556
15	H-shape steel	0.0229	5.245	6.619
20	H-shape steel	0.0298	5.320	4.214
25	Composite	0.0296	2.420	6.227
30	Composite	0.0641	3.893	4.625
35	Composite	0.0986	5.365	3.394
40	Composite	0.1180	4.406	3.011
45	Composite	0.1375	3.446	2.813
		0.1818	4.043	2.359

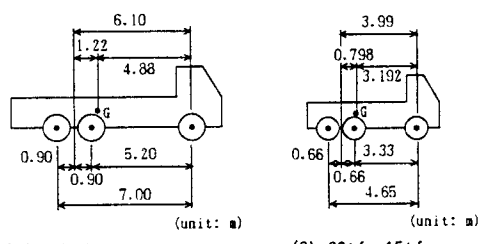


Fig. 1 Dimension of moving vehicles

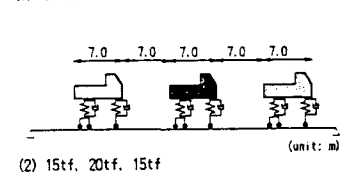
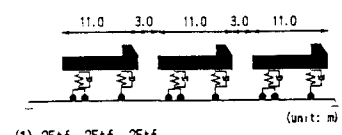


Table 2 Dynamic properties of moving vehicles

Total weight (tf)	25.0	20.0	15.0	① 25.0	② 25.0
Mass moment of inertia (tf·m ²)	148.84	50.94	38.21	63.68	63.68
Spring constant k _x (tf/m)	181.28	145.02	108.77	181.28	145.02
k _y (tf/m)	725.11	580.09	435.07	725.11	580.09
Damping coefficient c _x (tf·s/m)	0.577	0.462	0.346	0.577	0.516
c _y (tf·s/m)	2.308	1.847	1.385	2.308	2.064
Natural frequency (Hz)	3.0	3.0	3.0	3.0	2.68
Damping constant	0.03	0.03	0.03	0.03	0.03

Mitsuo KAWATANI, Yoshikazu KOBAYASHI and Kazue TAKAMORI

クトル密度 $S_{zo}(\Omega)$ は波数 Ω の指數関数として、 $S_{zo}(\Omega) = \alpha / (\Omega^n + \beta^n)$ によりモデル化する。各パラメーター値は、 $\alpha = 0.0098 \text{cm}^2 / (\text{c/m})$ 、 $\beta = 0.08 \text{c/m}$ 、 $n = 2.5$ の値とした⁵⁾。この路面凹凸パワースペクトル密度を ISO 評価基準と共に Fig. 3 に示す。

4. 解析結果 (1) 2乗平均値応答 解析時に考慮する橋梁の振動次数は 3 次とし、車両の走行速度は 10.0 m/s とした。スパン長 30m の場合の、スパン中央における曲げモーメントの無次元化応答 $\sigma_M / M_{s, max}$ を Fig. 4 に示す。ここで、軸間距離および車両重量の増加の影響を見るため、20tf 車の寸法のまま 25tf の重量を有する場合を解析した。① は車両の固有振動数を $f_v = 3.0 \text{ Hz}$ に保持するようばね定数を大きくしてあり、② はばね定数を 20tf 車のままにしたものである (Table 2 参照)。20tf に比べて ①、② の応答は小さくなっているが、静的応答の増加の影響が強く表れている。さらに、①、② に比べて 25tf 車による無次元化応答値の方が小さくなっている、軸間距離の長くなった影響が大きい。(2) 衝撃係数 式(1)により得られる衝撃係数を、道路橋示方書の衝撃係数規定とともに Fig. 5 に示し、L-20に対する場合と L-25 に対する場合とを比較した。スパン長 30m の付近で衝撃係数が大きくなっているが、これは車両の固有振動数 $f_v = 3.0 \text{ Hz}$ と近い固有振動数を有する橋梁が、車両と共振したためである。全体的に L-20 に対する場合に比べて L-25 に対する場合の方が衝撃係数が小さい値になっており、静的応答ほど動的応答は増加しないことがわかる。また、単一走行の場合よりも連行走行の方が衝撃係数の値は小さいが、スパン長 30m の L-20 に対する場合を除いて、静的応答と動的応答を加えた値は連行の方が大きくなる (Table 3 参照)。道路橋示方書の衝撃係数規定を上回っているのは、スパン長 30m 付近の橋梁である。

Table 3 Maximum of bending moment (L-20 equivalent)

Span length (m)	$M_{s, max}$ (tfm)	i	$M_{s, max} + M_{d, max}$ (tfm)
30	single	131.4	0.3742
	series	150.1	0.1724
35	single	154.4	0.3260
	series	202.3	0.2278
40	single	177.3	0.2539
	series	282.1	0.2251
45	single	200.1	0.2088
	series	324.1	0.1611
			376.3

【参考文献】

- 1) 川谷充郎・崎田玲志：橋梁の自動車走行による不規則振動と衝撃係数、土木学会論文集、第398号／I-10, pp.303-309, 1988.10.
- 2) Kawatani, M. and Fukumoto, Y.: Dynamic Response and Impact of Steel Bridges under Moving Vehicles Compared with Concrete Bridges, The Third Pacific Structural Steel Conference, PSSC, Oct. 26-28, 1992, Tokyo, Japan, pp.129-134.
- 3) Kawatani, M. and Komatsu, S.: Nonstationary Random Response of Highway Bridges under a Series of Moving Vehicles, Structural Eng./Earthquake Eng. Vol. 5, No. 2, 285s-292s, Oct., 1988 (Proc. of JSCE No. 398/I-10).
- 4) 川谷充郎・崎田玲志・田邊祐之：橋梁の走行車両による不規則応答に基づく衝撃係数の評価法、構造工学論文集、Vol. 35A, pp. 741-748, 1989.3.
- 5) Honda, H., Kajikawa, Y. and Kobori, T.: Spectra of Road Surface Roughness on Bridges, J. of Struct. Div., Proc. of ASCE, Vol. 108, No. ST9, pp.1956-1966, September, 1982.

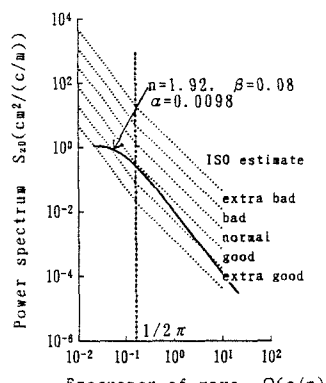


Fig. 3 Power spectrum of roadway roughness

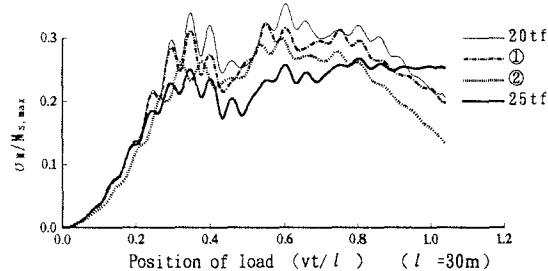


Fig. 4 R.M.S. value of random response of bending moment

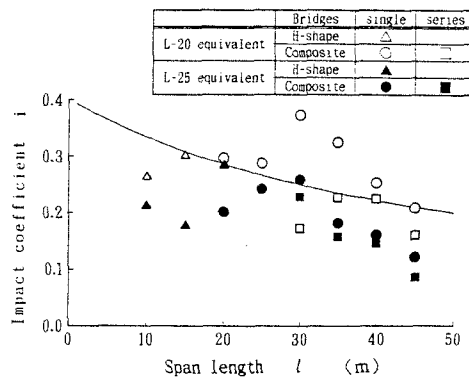


Fig. 5 Impact coefficients